

新型非晶态激光工作物质

——合成五磷酸镧钕(LNPP)激光材料

刘言滨 陈登金 曾梅珍 赵素节 李加季

(国家建筑材料工业局人工晶体研究所)

合成 LNPP 激光玻璃是一种化学计量的非晶态物质,它兼有晶体与玻璃介质的某些特性,是高储能、高增益、高重复率的新型玻璃激光工作物质,它有利于激光器件小型化。本文叙述了 LNPP 玻璃的主要制备工艺及其基本特性。

目前国内外已经实现激光振荡的固体物质达 100 余种,然而真正具有实际应用价值的材料却只有有限的几种。因为材料的实际价值,不仅取决于它的物理和化学性质,而且还取决于制备这种材料的技术水平,以及许多其它的因素。Kristall 曾列出了评价材料优劣的 14 项指标,其中前四项指标是:制备大块材料的可能性,激光波长的损耗系数,热导率和光学均匀性。根据这些指标得出的目前最好的固体材料还是 Nd:YAG 和玻璃。

众所周知,以 Nd³⁺ 离子掺杂型的激光晶体,如 Nd:YAG 已经成为一种重要的激光工作物质,得到了广泛的重视和应用。然而, Nd³⁺ 离子本身对泵浦光的吸收截面较小,其掺杂浓度较低,一般不超过重量的 1—2%,否则由相邻的 Nd³⁺ 离子产生的多极矩相互作用,会导致荧光猝灭、寿命缩短和谱线加宽。此外, Nd³⁺ 离子的半径较大,如掺杂量高,将会破坏材料结构和均匀性。

70 年代, Denielmezer 和 Weber^[1] 研制出了一种新型的稀土五磷酸盐激光晶体。与 Nd:YAG 不同的是,在这种材料中,稀土离子不是作为杂质存在于晶体中,而是按照化学配比存在于化合物的晶体中。此后,人们对各种稀土五磷酸盐进行了一系列的研究,其中尤以 Nd_{1-x}La_xP₂O₁₄ (简称 NLPP 晶体) 的研究比较突出^[2]。在这类晶体中, Nd³⁺ 的浓度可达 30

倍于 Nd:YAG 中的 Nd³⁺ 浓度,而不致于引起明显的荧光猝灭,其吸收截面和发射截面与 Nd:YAG 晶体基本相似^[4]。因此,人们曾期望 NLPP 晶体获得比 Nd:YAG 更高的增益密度,以适应小型激光器的需要。

后来,人们发现,虽然 NLPP 晶体具有优异的激光性能,但是很难得到象 Nd:YAG 那样可供应用的光学质量较好的大块晶体,这意味着 NLPP 晶体只能用于微型激光器。然而,用 NLPP 晶体制作的微型激光器的转换效率又不如半导体激光器高,所以它的应用前景渺茫。此外, NLPP 晶体极易开裂,抗热冲击和抗机械冲击性能都很差,发光强度随温度的升高而单调下降^[3]。所有这些缺点都大大地限制了 NLPP 晶体的应用范围。

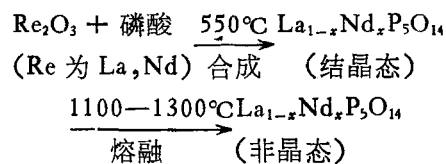
如何制备一种新型的激光工作物质,使得它既具有 NLPP 晶体的优异性能,又可以克服 NLPP 晶体的缺点,自然成为值得研究的课题。合成玻璃(由组分合成化合物转化而成的玻璃)这一技术给了我们很大的启发。玻璃激光基质的尺寸大,均匀性好,也是当前最重要的激光工作物质之一。因此,我们研制了 La_{1-x}Nd_xP₂O₁₄ (简称 LNPP) 非晶态激光工作物质。

一、合成 LNPP 的制备

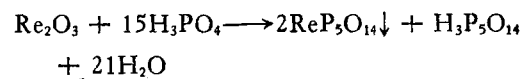
磷酸盐是一类复杂的化合物,种类很多,性

能各异。由于结晶态 LNPP 在高温下易分解，同时高温下 LNPP 有很强的腐蚀性，因此合成 LNPP 在制备时，必须采取防分解、防腐蚀的特殊工艺。

采用密闭坩埚法进行制备，其主要工艺过程如下：



其中，合成 LNPP 的化学反应是：



由同组分 LNPP 结晶体转化而成的 LNPP，其化学组分的最大误差不超过 0.5%。因此 LNPP 与其晶体属于同一化合物，可以用结晶态的化学式来表示： $\text{La}_{1-x}\text{Nd}_x\text{P}_5\text{O}_{14}$ （其中 Nd 为激活离子）。为了改善它的某些特性，允许用其它阳离子等价地替换部分 La 离子。 x 值可由 0 至 1，它是通过 La_{1-x} 进行调节的。 Nd^{3+} 浓度高，有利于提高增益和储能，但是随着浓度的提高，不仅自吸收强度会随之增大，而且使纯 Ndpp 玻璃的热光性能也变差。所以， Nd^{3+} 的浓度必须适当，一般为 $7 \times 10^{20}-12 \times 10^{20}\text{cm}^{-3}$ 。试验表明，加铈有利于抗紫外辐射，并有一定的敏化作用，但若过量，则影响光学均匀性；铬既有明显的敏化作用，同时也会严重影响材料的热光性能^[4]。

二、合成非晶态 LNPP 的特性

1. 非晶态 LNPP 的性质

(1) 化学组成(见表 1)

表 1

化学式	$\text{La}_{1-x}\text{Nd}_x\text{P}_5\text{O}_{14}$
Nd_2O_3 (wt. %)	11.2
Nd^{3+} ($10^{20}/\text{cm}^3$)	12

(2) 荧光特性(见表 2)

表 2

中心波长	$\Delta\lambda(\text{nm})$	1053
半宽	$\Delta\lambda_{FWHM}(\text{\AA})$	205
有效半宽	$\Delta\lambda_{eff}(\text{\AA})$	248
寿命	$\tau(\mu\text{s})$	150
发射截面	$\sigma(10^{-20}\text{cm}^2)$	4.2
1053 μm 量子效率	$\eta(\%)$	43.1
辐射跃迁几率 $A(s^{-1})$ 及分支比 β	$4F_{3/2}-4I_{9/2}$	A_1 B_1 1134.6 0.371
	$4F_{3/2}-4I_{11/2}$	A_2 B_2 1581.8 0.517
	$4F_{3/2}-4I_{13/2}$	A_3 B_3 325.4 0.106
	$4F_{3/2}-4I_{15/2}$	A_4 B_4 15.9 0.0052

(3) 激光性能(见表 3)

表 3

转换效率	斜效率(%)	2.8($\phi 6 \times 100$)
	总体效率(%)	2.2($\phi 6 \times 100$)
最高重复频率 (Hz)		20($\phi 5 \times 70$)
最大输出能量 (J/cm ³)		5.5
最高平均输出功率 (W/cm ³)		14.5
增益 (10^{-2}cm^{-1})		5.9
阈值能量 (J/cm ³)		4.3
破坏阈值	平均泵浦功率(W) 平均功率密度(MW/cm ²)	≥ 2000 ($\phi 5 \times 70$) 550
动静比		0.7
调 Q 脉宽	电光(ns) 转镜(ns) 染料(μs)	10 13 22

(4) 光学性能(见表 4)

表 4

	非线性折射率 $n_2(10^{-13} \text{ esu})$	1.12(计算值)
折 射 率	$n(\text{峰值})$	1.54
	n_d	1.56
	$\Delta n/dt(10^{-6}/\text{°C})(20-40\text{°C})$	0
	线膨胀系数($10^{-6}/\text{°C}$)(20—40°C)	7
	光程长度温度系数($10^{-6}/\text{°C}$)(20—40°C)	3.78

(5) 热性能及其他(见表 5)

表 5

软化温度(°C)	550
转变温度(°C)	514
热导率 (cal/cm · s · K)	0.0024
比重 (g/cm^3)	3.02
杨氏模量 (kgf/mm^2)	5400
泊松比 (kgf/mm^2)	0.2
奴普硬度 (kgf/mm^2)	381
耐水性 ($10^{-7}\text{g}/\text{min}/\text{cm}^2$)	7.44

2. 合成非晶态 LNPP 与其他激光工作物质性质对比(见表 6)

非晶态 LNPP 的特点是高能量输出, 这反映了 LNPP 的高增益特性。这一特点与增益系数的计算结果基本一致(见表 7)。激光增益 $g \propto \sigma \Delta N$ 。非晶态 LNPP 是高 Nd^{3+} 浓度的激光材料, 最高可达 30wt.%, 发射截面为 $4.2 \times 10^{-20}\text{cm}^2$, 虽不及 YAG:Nd 和 LNPP 晶体, 但在玻璃基质中是相当高的(见表 6)。

LNPP 玻璃的输出特性不仅明显地优于钕玻璃, 而且当泵浦能量大于 50J 时, 也明显优于 YAG:Nd。

优质 YAG:Nd ($\phi 6 \times 100$) 在低泵浦条件下具有很高的斜效率, 但是当 E_{in} 大于 50J 之后, 效率很快趋于饱和。因此, LNPP 玻璃有利于高能量输出, 而钕玻璃则无论输出能量

或效率都远不及 LNPP。

四能级的阈值反转粒子数为

$$n_{3l} \approx \Delta n_t = \frac{8\pi\nu_0^2\tau\delta}{v^2 l} \delta\nu = \frac{\delta}{\sigma 32l}.$$

可见, Δn_t 愈高, 需要的有效泵浦能量就愈大, 振荡阈值就愈高; 反之, 亦然。YAG:Nd 的 Δn_t 最小, 阈值应该最低, LNPP 与钕玻璃的 Δn_t 数值相等, 阈值应该相近。实测阈值与 Δn_t 的计算结果基本吻合(见表 8)。

由于 LNPP 玻璃的 $dn/dT = 0$, 所以介质的热光性能得到很大改善, 在良好的强制冷却系统中, 它能够承受较高的热负载, 可以在较高的泵浦条件下或重复率下工作。例如, $\phi 5 \times 70\text{mm}$ 圆棒的最大平均泵浦功率高达 2000W, 当输入能量为 100J/脉冲时, 平均输出功率为 20W, 相当于 $14.5\text{W}/\text{cm}^2$ 。最高单次输出能量

类 型		硅酸盐玻璃	磷酸盐玻璃			
牌 号		LG670(ED ₁)	LHG-5	LHG-7	LHG-8	Q100
公 司		Schott	HOYA	HOYA	HOYA	Kiger
浓 度	$N_d(\text{wt.\%})$ $N_d(10^{20}/\text{cm}^3)$	1.54 1.4	3.31 3.04	3.38 3.17	3.03 3.07	9 10.3
荧 光	中心波长(nm) 半宽(Å) 寿命(μs) 发射截面(10^{-20}cm^2)	1061 278 330 2.7	1054 190 290 3.9	1054 200 305 3.8	1054 201 315 4.2	1054 242 185 3.8
激 光	斜效率(%) 最大输出能量(J/cm ²) 最高重复率(Hz)		1.83 ($\phi 10 \times 160$)	1.82 ($\phi 10 \times 160$)	1.83 ($\phi 10 \times 160$) 30($\phi 4 \times 70$)	
	非线性折射率 $n_2(10^{-13}\text{esu})$ 折射率 n (峰值) n_d $dn/dT(10^{-6}/\text{°C})(20-40\text{°C})$ 线膨胀系数($10^{-6}/\text{°C}$)(20-40°C) 光程长度温度系数($10^{-6}/\text{°C}$) (20--40°C)	1.14 8.0	1.13 1.53 1.54 0.1 9.8 4.6	0.95 1.50 1.51 -2.8 11.2 2.3	1.02 1.52 1.52 -5.3 12.7 0.6	1.30 1.55 -4.6 9.6 0±5
	软化温度(°C) 转变温度(°C) 热导率(kcal/m·h·°C)		486 455 0.85	543 510 0.74	520 485	
	比重(g/cm ³) 杨氏模量(kgf/mm ²) 泊松比(kgf/mm ²) 奴普硬度		2.68 6249 0.184 497	2.6 5635 0.238 367	2.8 5109 0.258 321	3.2

表 7

介 质	LNPP 玻璃	YAG:Nd	钕 玻 璃
增益 (10^{-2}cm^{-1})	5.9	1.5	3.7

表 8

工作物质	LNPP 玻璃	YAG:Nd	钕 玻 璃
$\Delta n_i(\text{cm}^{-3})$	1.4×10^{18}	1.8×10^{16}	1.4×10^{18}
阈值 (J/cm ³ , 实测)	4.3	2.6	4.5

为 $5.5\text{J}/\text{cm}^3$ 。因此, LNPP 是已知的单位体积输出能量和平均功率最大的固体激光工作物质。

非晶态 LNPP 可以采用电光、转镜以及染料进行调 Q 调出。动静比为 0.7, 优于 YAG:

$\text{Nd}(0.5)$ 及钕玻璃 (0.5), 调 Q 脉宽接近于 YAG:Nd, 优于钕玻璃(见表 9)。

因此, 非晶态 LNPP 玻璃既可用于能量器件, 亦可作为功率器件使用, 是有广泛用途的新材料。

氟磷酸盐玻璃		晶 体				合成玻璃
LHG-10	LG810	红宝石 $\text{Al}_2\text{O}_3:\text{Cr}$	YAG:Nd $\text{Y}_3\text{Al}_5\text{O}_{12}:\text{Nd}$	五磷酸钕 $\text{NdP}_5\text{O}_{14}$	金绿宝石 $\text{BeAl}_2\text{O}_4:\text{Cr}$	非晶态 LNPP
HOYA	Schott					人工晶体 研究所
2.4 3.13	1.2 1.4	Cr ⁺³ 0.05 0.158	0.73 1.38	40	Cr ⁺³ 0.06	11.2 12
1051 241 384 2.6	1051 261 470 2.6	694 53 3000 2.5	1064 20 200 40--88	1051 120 18	680 700--815 1500	1053 205 150 4.2
						2.8 ($\phi 6 \times 100$) 5.5 20($\phi 5 \times 70$)
0.61 +1.6	0.52 -1.4	1.1 13	3.2 12.8		0.8 15	1.12 (计算值) 1.54 1.56 0 7 3.78
						550 514 0.0024 cal/ cm · s · K
						3.02 5400 0.2 381

表 9

调Q方式	电 光 (KDP)	转 镜			染 料
		YAG:Nd	LNPP 玻璃	钕玻璃	
脉 宽	10ns	11ns	13ns	30ns	22μs

综上所述，不难看出我们研制的非晶态 $\text{La}_{1-x}\text{Nd}_x\text{P}_5\text{O}_{14}$ (简称 LNPP) 激光工作物质，不仅克服了 LNPP 晶体的上述缺点，而且避免了纯 NdPP 晶体激活离子浓度过高、自吸收过强、热光性能差等缺点。由于 LNPP 的尺寸大，光学质量高，综合性能优越，可广泛地应用于常规脉冲激光器件，从而扩大了五磷酸盐激光材料的应用范围，成为可与已知固体激光介质相媲美的新型激光工作物质。

参加本项研究的工作人员还有杨春和、齐家宝，特在此致谢。

- [1] H. G. Danielmezer and H. P. Weber, *J. Quant. Electr.*, **QE-8** (1972), 805.
- [2] T. C. Damen et al., *Appl. Phys. Lett.*, **23** (1973), 519.
- [3] 马玉蓉等,发光学报, **9** (1988), 137.
- [4] 刘言滨等,硅酸盐学报, **16** (1988), 376.
- [5] 刘言滨等,人工晶体, **16** (1988) 1.